



HRVATSKA KOMORA INŽENJERA GRAĐEVINARSTVA
15. Dani Hrvatske komore inženjera građevinarstva Opatija, 2021.

Numerička analiza mehaničkog ojačanja drvenog lameliranog nosača sportske dvorane Suhopolje

Marko Ključanin

Mario Abramović

Marko Ključanin, struč.spec.ing.aedif., Standing d.o.o., Virovitica

Mario Abramović, mag.ing.aedif., Drvene konstrukcije d.o.o., Voćin

Cilj rada

- Na primjeru realnog nosača usvojiti metode mehaničkog ojačanja – ‘armiranja’ (uglavnom navojne šipke i nalijepljene furnirske ploče)
- Usporediti optimalnu tipologiju sedlastog radijalno zakrivljenog nosača (iznaći geometriju koja maksimalno reducira okomita vlačna naprezanja - povećanje zakrivljenosti intradosa)
- Ustanoviti optimalne numeričke modele kojima je cilj opisati rezidualna naprezanja okomito na vlakanca u zoni sljemenog volumena (nedostatak propisa...)
- Analizirati numerički model komercijalnim programskim paketom (analiza rezidualnih naprezanja)
- Usporediti rezultate rezidualnih naprezanja nosača nakon ojačanja

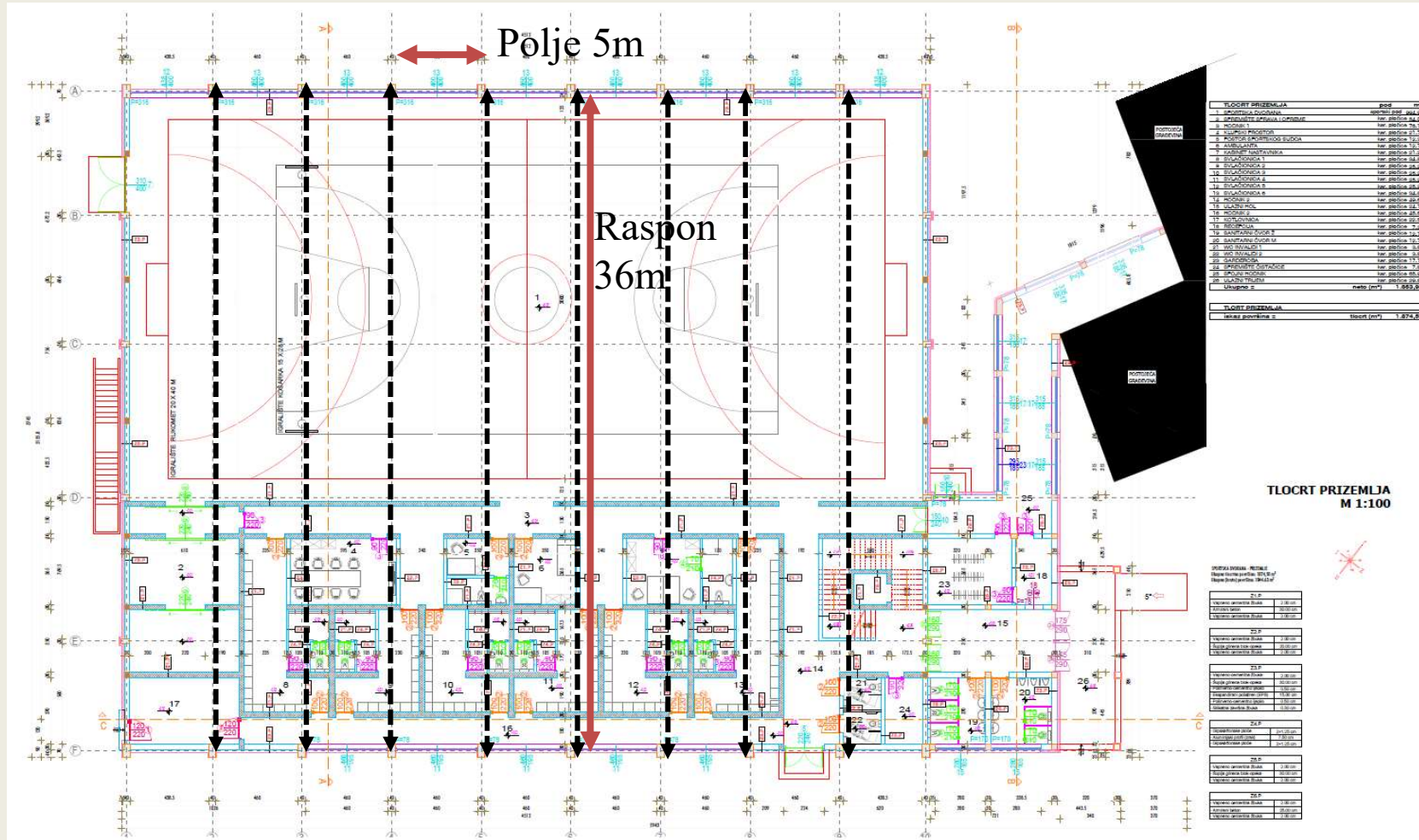


- Sportska dvorana Suhopolje (dvodjelna dvorana)

-Tlocrtne izmjere - 59.43m x 37.45m

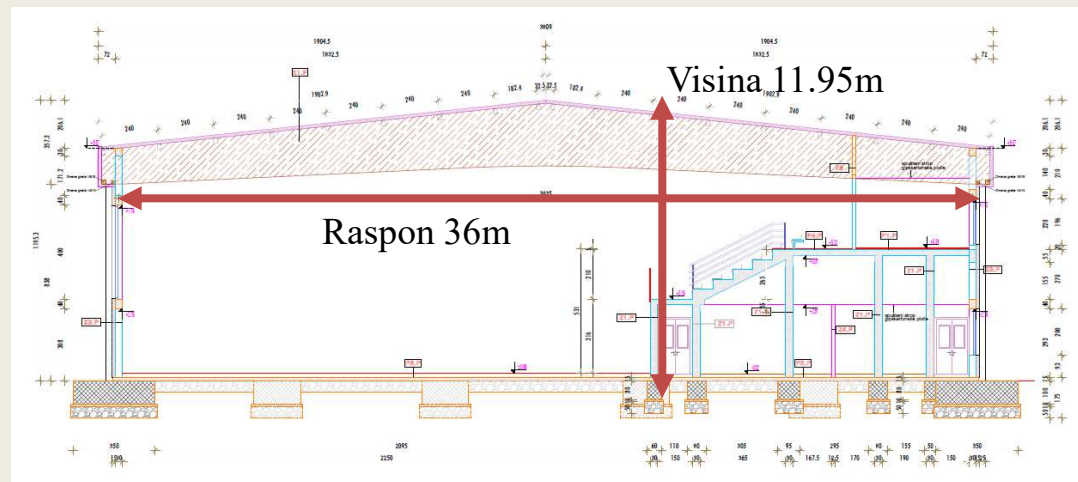
-Visina u sljemenu - 11.95m

-8 glavnih nosača postavljeni na AB konzolnim stupovima 40/70

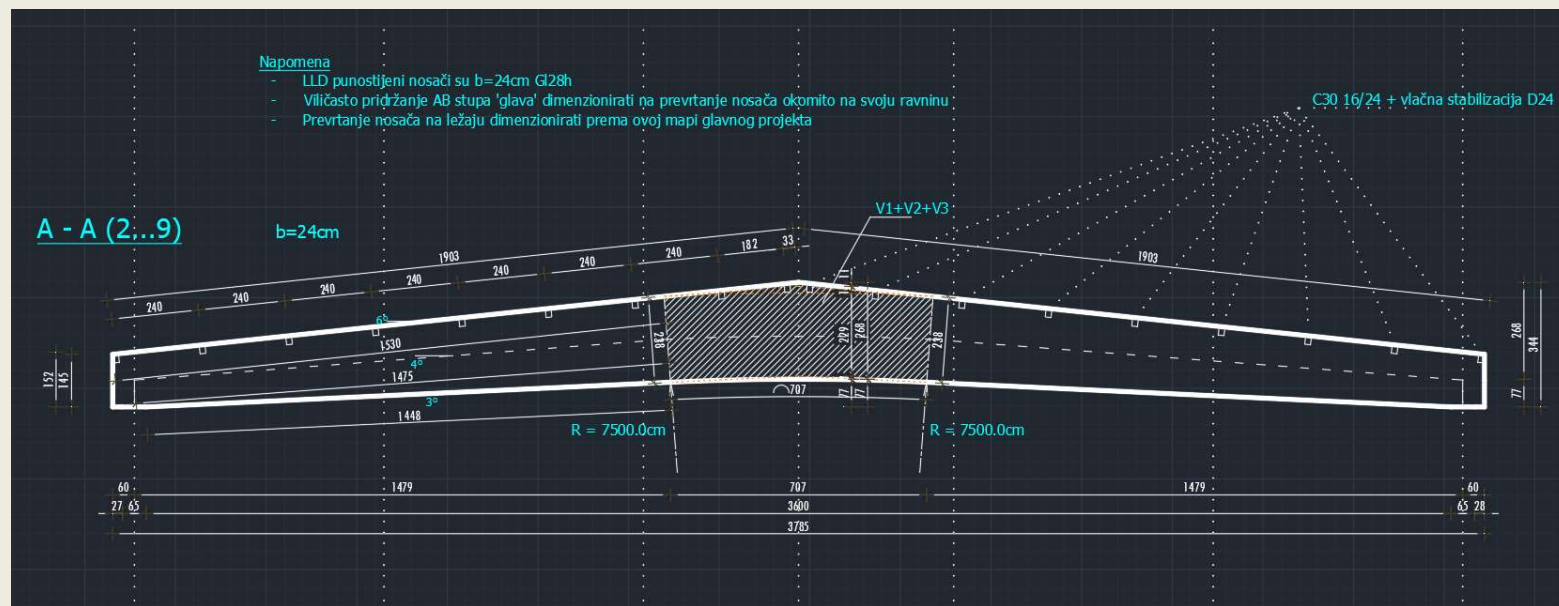


- Opis nosača
 - Tipologija nosača – Sedlasti radijalno zakriviljeni nosač ('srpasti')
 - Raspon nosača - 36m
 - Visina u sljemenu 268cm, visina na ležaju 152cm, zakriviljenost intradosa 75m, nagib gornje izvodnice 6° , nagib donje izvodnice 3°
 - Dolje – dimenzionirani lamelirani nosač glavnog okvira građevine prema projektu drvene konstrukcije

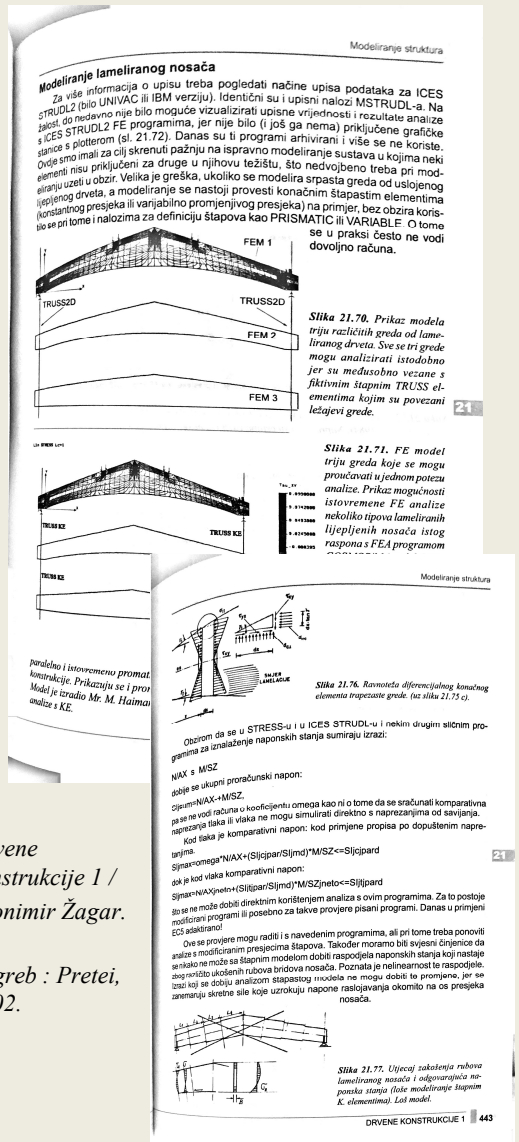
Presjek iz arhitektonskog projekta



Drveni lameliranog nosač



Modeliranje nosača – anizotropne ploče opterećene u svojoj ravnini



Drvene
konstrukcije 1 /
Zvonimir Žagar.
–
Zagreb : Pretei,
2002.

M.Ključanin, M.Abramović

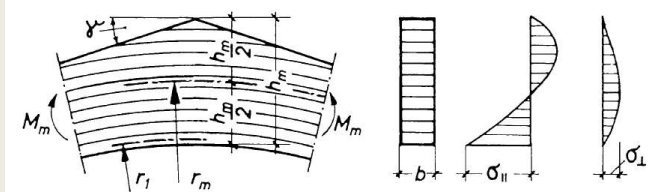
-Iz knjige prof. Žagara -

‘Velika je greška, ukoliko se modelira srpsata greda od uslojenog lijepjenog drveta, a modeliranje se nastoji provesti konačnim elementima konstantnog presjeka ili varijabilno promjenjivog... O tome se u praksi često ne vodi dovoljno računa’

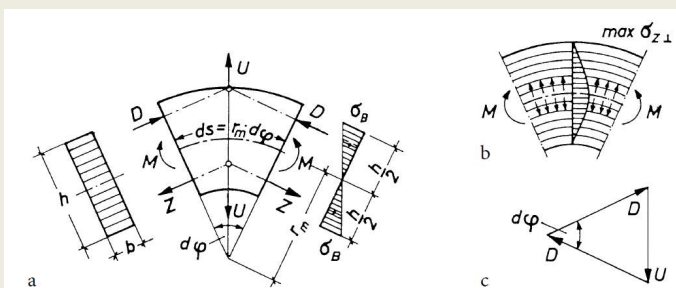
‘Poznata je nelinearnost te raspodjele. Izrazi koji se dobiju analizom štapnog modela ne mogu dobiti te promjene (raspodjela naponskih stanja koji nastaje zbog različito ukošenih rubova bridova nosača), jer se zanemaruju skretne sile koje uzrokuju napone raslojavanja okomito na os nosača.’ – neispravne modeliranje rezultira izrazito netočnom raspodjelom naprezanja nosača!

Ispраван prikaz raspodjele naprezanja u sljemenu srpastog nosača (*Werner, Zimmer - Holzbau 2*)

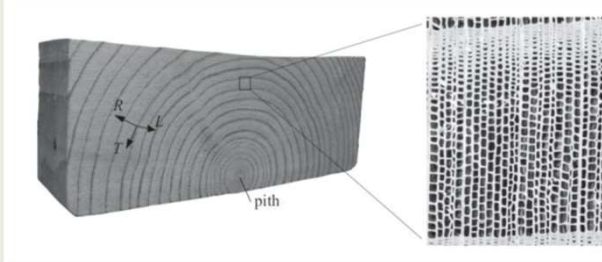
230 19 Brettschichholzträger



Prikaz okomitih naprezanja srpastog nosača (*Werner, Zimmer - Holzbau 2*)



Modeliranje drva



- Karakteristične osi definirane su s tri (3) uzajamno okomite ravnine simetrije; uzdužna (L), radijalna (R) i tangencijalna (T). Prostorni prikaz materijala u kontinuumu na makro značaju - prepostavljajući male deformacije i materijalnu ortotropiju s L, R i T ravninama glasi –

$$\sigma_{ij} = D_{ijkl}\epsilon_{kl}$$

- Linearna elastičnost – matrična formulacija
 - Koristeći zapis i svojstvo simetrije dobivamo matrični zapis konstitutivnih odnosa –

$$[\sigma_{ij}] = [D_{ij11} D_{ij22} D_{ij33} D_{ij12} D_{ij13} D_{ij23}] \begin{bmatrix} \epsilon_{11} \\ \epsilon_{22} \\ \epsilon_{33} \\ 2\epsilon_{12} \\ 2\epsilon_{13} \\ 2\epsilon_{23} \end{bmatrix} \quad D = \begin{bmatrix} D_{1111} & D_{1122} & D_{1133} & D_{1112} & D_{1113} & D_{1123} \\ D_{2211} & D_{2222} & D_{2233} & D_{2212} & D_{2213} & D_{2223} \\ D_{3311} & D_{3322} & D_{3333} & D_{3312} & D_{3313} & D_{3323} \\ D_{1211} & D_{1222} & D_{1233} & D_{1212} & D_{1213} & D_{1223} \\ D_{1311} & D_{1322} & D_{1333} & D_{1312} & D_{1313} & D_{1323} \\ D_{2311} & D_{2322} & D_{2333} & D_{2312} & D_{2313} & D_{2323} \end{bmatrix}$$

- Kako i zapis pokazuje, za potpun opis materijalne anizotropije matrica D je u potpunosti ispunjena, dakle 21 član je potreban za opis materijalne anizotropije.

- Određenim transformacijama iz literature (*Ottoson N., Ristinmaa M., The Mechanics of Constitutive Modeling, Elsevier, 2005*) završili bismo na jednakostima gdje svaka daljna transformacija sustava završava jednim odnosima, tada za materijal koji posjeduje tri (3) ortogonalne ravnine elastične simetrije kažemo da je ortotropan.

$$D = \begin{bmatrix} D_{11} & D_{12} & D_{13} & D_{14} & 0 & 0 \\ D_{21} & D_{22} & D_{23} & D_{24} & 0 & 0 \\ D_{31} & D_{32} & D_{33} & D_{34} & 0 & 0 \\ D_{41} & D_{42} & D_{43} & D_{44} & 0 & 0 \\ 0 & 0 & 0 & 0 & D_{55} & D_{56} \\ 0 & 0 & 0 & 0 & D_{65} & D_{66} \end{bmatrix}$$

- Iz zapisa možemo zaključiti da ortotropan materijal posjeduje devet (9) neovisnih elastičnih varijabli. Koristeći gore zapis dolazimo do zaključnog zapisa materijalne ortotropije -

$$\begin{bmatrix} \epsilon_{11} \\ \epsilon_{22} \\ \epsilon_{33} \\ 2\epsilon_{12} \\ 2\epsilon_{13} \\ 2\epsilon_{23} \end{bmatrix} = \begin{bmatrix} \frac{1}{E_1} & -\frac{\nu_{21}}{E_2} & -\frac{\nu_{31}}{E_3} & 0 & 0 & 0 \\ -\frac{\nu_{12}}{E_1} & \frac{1}{E_2} & -\frac{\nu_{32}}{E_3} & 0 & 0 & 0 \\ \frac{\nu_{13}}{E_1} & -\frac{\nu_{23}}{E_2} & \frac{1}{E_3} & 0 & 0 & 0 \\ 0 & 0 & 0 & \frac{1}{G_{12}} & 0 & 0 \\ 0 & 0 & 0 & 0 & \frac{1}{G_{13}} & 0 \\ 0 & 0 & 0 & 0 & 0 & \frac{1}{G_{23}} \end{bmatrix} \begin{bmatrix} \sigma_{11} \\ \sigma_{22} \\ \sigma_{33} \\ \sigma_{12} \\ \sigma_{13} \\ \sigma_{23} \end{bmatrix}$$

- Kako je matrica simetrična, možemo zapisati –

$$\frac{\nu_{21}}{E_2} = \frac{\nu_{12}}{E_1} \quad \frac{\nu_{31}}{E_3} = \frac{\nu_{13}}{E_1} \quad \frac{\nu_{32}}{E_3} = \frac{\nu_{23}}{E_2}$$



- Cijelovit skup elastičnih parametara za jelovinu i smreku sadržani su u tablici. Parametri autora Berbom, Dahl temeljeni su na recentnim istraživanjima mekih drva s gustoćom 398kg/m³ i vlažnosti 12%.
(Danielsson H., Perpendicular to grain fracture analysis of Wooden structural elements - models and application, Lund University, 2013)

Vrsta	E_L	E_R	E_T	G_{LR}	G_{LT}	G_{RT}	ν_{LR}	ν_{RL}	ν_{LT}	ν_{TL}	ν_{RT}	ν_{TR}
Smreka	9040	790	340	640	580	30	0.5	0.11	0.66	0.06	0.84	0.34
Smreka	10700	710	430	500	620	23	0.38	0.03	0.51	0.03	0.51	0.31
Smreka	13500	890	480	500	700	30		0.03	0.54			0.6
Bor	11000	1000	500		680	70	0.46	0.03	0.44	0.02	0.61	0.31

- Os uzdužno na vlakanca EL u velikoj je mjeri veće krutosti u odnosu na ostale dvije osi. Zbog te pojave, često se materijalni modeli prepostavljaju kao transverzno izotropni, tj. Postavlja se dioba između samo dvije međusobno okomita smjera; uzdužno na vlakanca i okomito na vlakanca. (Pojava se postavlja implicite u ravninskim materijalnim modelima, gdje je T=0)
- Ovakvo pojednostavljenje označava prepostavku homogenog materijalnog modela i ignoriranje cilindričnih godova rasta!
- Orijentacija vlakanaca unutar lamela ili nosača uobičajeno nije homogena, zbog cilindrične prirode rasta drva.

• Weibull – teorija otpornosti drveta na okomita vlačna naprezanja

- Karakterističnosti mehanizma otkazivanja materijala temeljno su različiti od onih nađenih u teoriji metalne plastičnosti. Ponašanje u vlačnim naprezzanjima najlakše je opisati kao krto ponašanje. Weibull-ova teorija omogućava probabilistički pristup analizi čvrstoće. (*Thelandersson S., Larsen H.J., Timber Engineering, John Wiley & Sons Ltd, 2003*) Općenito, čvrstoća okomita na vlakanca u velikoj mjeri ovisi o naprezzanom volumenu - što je volumen veći, veća je vjerojatnost postojanja određenih materijalnih nepravilnosti (*Weibull W., A Statistical theory of the strength of Materials, Royal Technical University, 1939*)
- Osnovna postavka teorije je da je materijal idealno krt u smislu da općeniti otkaz nosivosti nastupa kada je otpornost najslabije karike dosegnuta. Ovisnost čvrstoće o tzv. naprezzanom volumenu gdje je ključan doprinos vlačnih naprezzanja okomito na vlakanca čini teorijom vrlo pogodnom u analizi čvrstoće. Ovo čini teoriju izuzetno korisnom u primjeni u drvenim konstrukcijama s obzirom na kvrge, nepravilnosti godišnjeg rasta i slično. Teorija je osnova zbog koje je nosače nemoguće ispitivati u mjerilu!
- Weibull naprezanje je fiktivno homogeno naprezanje u volumenu 1 koji iskazuje jednaku vjerojatno otkazivanja kao stvarno heterogeno stanje naprezzanja volumena i definirano kao

$$\omega_{wei} = \left(\frac{1}{\Omega} \int_{\Omega} \lambda^m(x, y, z) d\Omega \right)^{\frac{1}{m}}$$

- Razina heterogenosti u distribuciji naprezzanja možemo izratiti pomoću koeficijenta kdis koji definiramo kao omjer između maksimalnog naprezzanja tijela max i Weibull naprezzanja wei pomoću izraza

$$k_{dis} = \frac{\sigma_{max}}{\sigma_{wei}} = \left(\frac{1}{\Omega} \int_{\Omega} \lambda^m(x, y, z) d\Omega \right)^{\frac{-1}{m}}$$

- Gdje je kdis = 1 za homogenu distribuciju naprezzanja i kdis > 1 za sve ostale distribucije.
- Važno je prepoznati da niti jedan kriterij čvrstoće neće cijelovito zadovoljiti u zonama značajnog doprinosa naprezzanja, jer uobičajeno prepostavljaju da je materijal homogen. Kriteriji čvrstoće su nesposobni predstavljati distribuciju naprezzanja koja se odvija u drvetu ili raznolikost svojstava unutar materijala. Dolična upotreba kriterija otkazivanja je predviđanje lokacije na kojoj se razvija lomna površina, nego li kao sredstvo predviđanja opterećenja pri kojem dolazi do sloma.



Dimenzioniranje nosača prema HRN EN 1995 – provjera okomitih vlačnih naprezanja

- U trenutno važećoj eurocode normi HRN EN 1995 ne postoji postupak proračuna ojačanja na prekoračenje okomitih vlačnih naprezanja te je stoga potrebno razmotriti postupak opisan u njemačkom nacionalnom dodatku norme DIN EN 1995/NA
- Iz norme DIN EN 1995/NA 6.8.5. – dokaz navojne šipke (NŠ) na prekoračenje okomitih vlačnih naprezanja
 - Elemente ojačanja potrebno je postaviti simetrično, na jednolikom rasponu, na mjestima najvećih okomith naprezanja, po cijeloj dužini kružnog luka (isključiti sam presjek u sljemenu iz ojačanja)
 - Ojačanja je potrebno rasporediti unutar jednakih segmenata (npr. duljina luka/4)
 - Ojačanja se nalazi na pravcu određenim radiusom zakrivljenosti (ne okomicu na izvodnice nosača)

$$F_{t,90,d} = \frac{\sigma_{t,90,d} b^2 a_1}{640n}$$

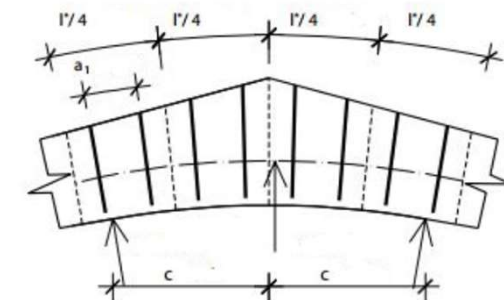
Maksimalna sila u elementu ojačanja

$$\tau_{ef,d} = \frac{2F_{t,90,d}}{\pi l_{add} d_r}$$

Uvjet otpornosti, posmično/granično naprezanje između ljepljjenog spoja i NŠ

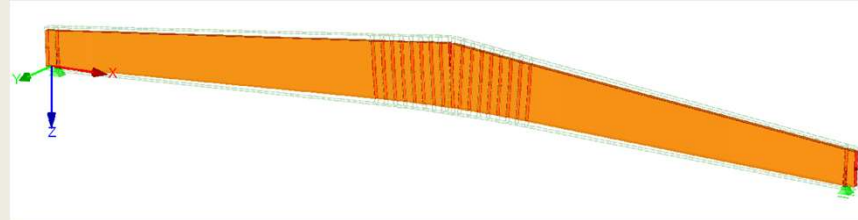
$$\frac{F_{t,90,d}}{R_{t,u,d}}$$

Dokaz NŠ



Geometrija ojačanja unutar sljemenog volumena sedlastog nosača

Dimenzioniranje nosača prema HRN EN 1995 – provjera okomitih vlačnih naprezanja



Provjera okomitih vlačnih naprezanja
u sljemenom volumenu nosača – iz
glavnog projekta

Otpornost NŠ = 75.28 kN

DESIGN - ALL - DETAILS			
NA.6.8.5, Rods with wood screw thread			
Governing	Location	X	18.325 m
	Result Combinations	RC	RC10
Design Internal Forces	Normal Force	N _d	-0.02 kN
	Shear Force	V _{z,d}	-0.28 kN
	Moment	M _{y,d}	2669.01 kNm
Design	Beam Depth	h _{ap}	267.70 cm
	Arc Radius	r _n	75.000 m
	Arc Radius	r	76.339 m
	Inclination Angle	α _{ap}	6.00 °
	Aux Factor	k ₅	0.021
	Aux Factor	k ₆	0.121
	Aux Factor	k ₇	0.177
	Factor	k _p	0.025
	Moment at Ridge Cross-Section	M _{ap,d}	2669.01 kNm
	Beam Width	b _{ap}	24.00 cm
	Transversal Tension Stress	σ _{t90,d}	237.27 kN/m ²
	Steel Rod - Nominal Diameter	d	1.60 cm
	Steel Rod - Core Area	A _s	1.13 cm ²
	Steel Rod - Tensile Strength	f _{t,b,k}	800.00 N/mm ²
	Steel Rod - Ultimate Limit State	F _{t,Rk}	81.43 kN
			Calculated, Tab.3.4(EN 1993-1-8)

Naprezanje okomo na vlakanca u sljemenom
volumenu (apex volume) = 0.237 MPa

Steel Rod - Partial Factor	γ_{M}	1.250	EN 1993-1-8
Steel Rod - Tension Resistance (Failure)	F _{t,Rd}	65.14 kN	Tab.3.4(EN 1993-1-8)
Steel Rod - Withdrawal Parameter (Inside Quarters)	f _{t1,k,j}	3.70 N/mm ²	DIN EN 1993-1-1/N A:2013-08, NA 6.8.5, NA 3
Steel Rod - Withdrawal Parameter (Outside Quarters)	f _{t1,k,a}	3.70 N/mm ²	DIN EN 1993-1-1/N A:2013-08, NA 6.8.5, NA 3
Modification Factor	k _{mod}	0.900	DIN EN 1993-1-1/N A:2013-08, NA 6.8.5, NA 3
Partial Factor	γ_M	1.300	Tab. 2.3
Steel Rod - Withdrawal Parameter	f _{t1,d,j}	2.56 N/mm ²	Eq. (2.14)
Steel Rod - Withdrawal Parameter	f _{t1,d,a}	2.56 N/mm ²	Eq. (2.14)
Beam Height in Transversal Tension Area (Inside Quarter)	h _{c,j}	243.78 cm	DIN EN 1993-1-1/N A:2013-08, NA 6.8.5, NA 3
Beam Height in Transversal Tension Area (Outside Quarters)	h _{c,a}	237.98 cm	DIN EN 1993-1-1/N A:2013-08, NA 6.8.5, NA 3
Lamination Thickness	t	4.00 cm	DIN EN 1993-1-1/N A:2013-08, NA 6.8.5, NA 3
Steel Rod - Half of Withdrawal Length (Inside Quarters)	l _{ad,j}	119.89 cm	DIN EN 1993-1-1/N A:2013-08, NA 6.8.5, NA 3
Steel Rod - Half of Withdrawal Length (Outside Quarters)	l _{ad,a}	116.99 cm	DIN EN 1993-1-1/N A:2013-08, NA 6.8.5, NA 3
Steel Rod - Withdrawal Resistance (Inside Quarters)	R _{ax,F,i,d}	77.14 kN	DIN EN 1993-1-1/N A:2013-08, Eq.
Steel Rod - Withdrawal Resistance (Outside Quarters)	R _{ax,F,a,d}	75.28 kN	(NA.101)
Length of Transversal Tension Area	l _{a1}	7.195 m	DIN EN 1993-1-1/N A:2013-08, Eq.
Number of Rods Within a _i	n	2	(NA.102)
Number of Rods (Inside Quarters)	n _{a1,i}	2	DIN EN 1993-1-1/N A:2013-08, Eq.
Number of Rods (Outside Quarters)	n _{a1,a}	2	
Distance of Rods (Inside Quarter)	a _{1,j}	1.799 m	
Distance of Rods (Outside Quarter)	a _{1,a}	1.799 m	
Design Value of Tensile Force (Inside Quarters)	F _{t,(0),d}	51.21 kN	
Design Value of Tensile Force (Outside Quarters)	F _{t,(0),a,d}	34.16 kN	

Rezultantna sila u NŠ = 34.16 kN



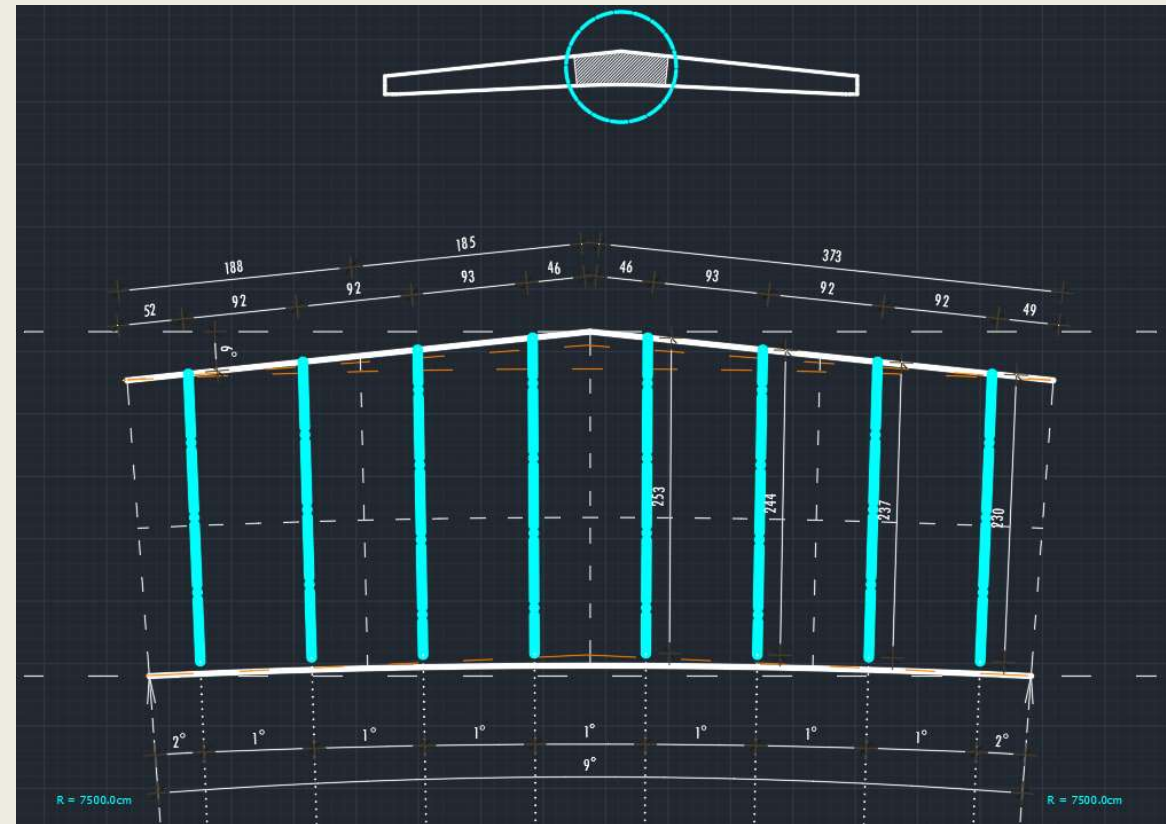
Dimenzioniranje nosača prema HRN EN 1995 – provjera okomitih vlačnih naprezanja

- NŠ se ugrađuju uvrštanjem u prethodno izbušene rupe $\sim 0.8d$. Uvrštanje se izvodi pneumatskim ili mehaničkim uvrtačem.

- Navojna šipka SPAX GWS M16



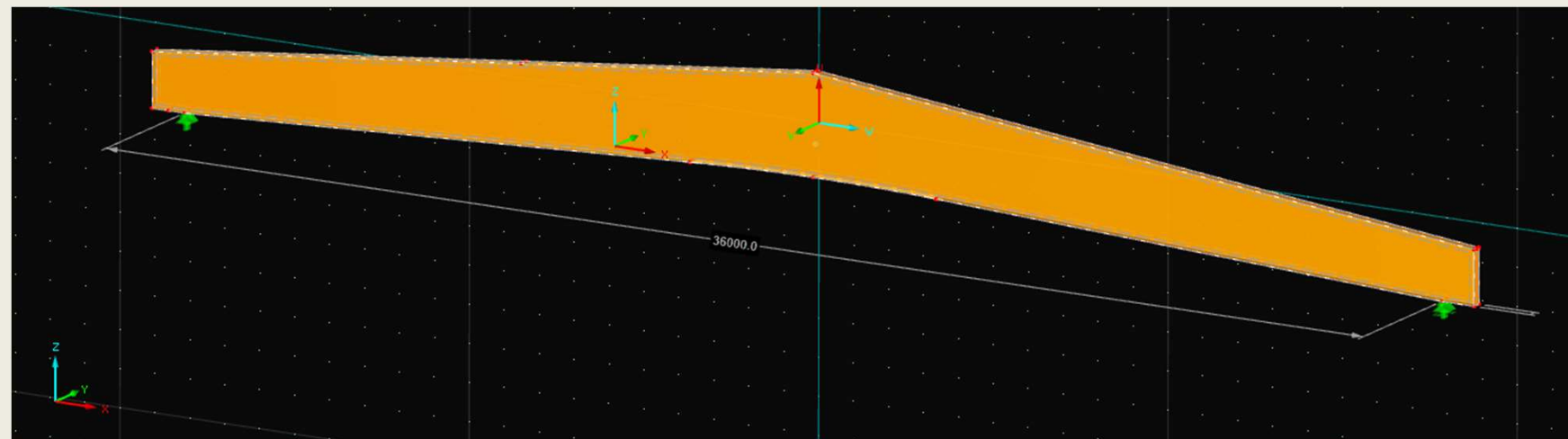
Raspored NŠ M16 za ojačanje nosača



Numerički model drvenog nosača

Nosač je modeliran kao linearno elastičan s ortotropnim materijalnim karakteristikama pomoću ‘inženjerskih konstanti’.(bez upisivanja kompletne matrice krutosti) Opisana su tri modula elastičnosti $E_1; E_2; E_3$, Poisson-ov omjer $n_{12}; n_{13}; n_{23}$ i tri modula posmika $G_{12}; G_{13}; G_{23}$ temeljem principijalnih materijalnih osi drva. Elastičnost materijala je definirana

Material Constants	
Modulus of elasticity	$E_x : 10700.0$ [MPa]
	$E_y : 710.0$ [MPa]
	$E_z : 430.0$ [MPa]
Shear modulus	$G_{yz} : 23.0$ [MPa]
	$G_{xz} : 620.0$ [MPa]
	$G_{xy} : 500.0$ [MPa]
Poisson's ratio	<input checked="" type="radio"/> $\nu_{yz} : 0.510$ [-] <input type="radio"/> $\nu_{zy} : 0.309$ [-]
	$\nu_{xz} : 0.510$ [-] $\nu_{zx} : 0.020$ [-]
	$\nu_{xy} : 0.380$ [-] $\nu_{yx} : 0.025$ [-]

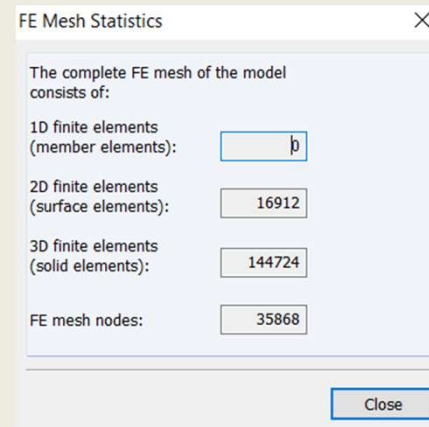


Materijalna ortotropija zadaje se pomoću elastičnih konstanti i lokalnog koordinatnog sustava upisanog u 3d SOLID element

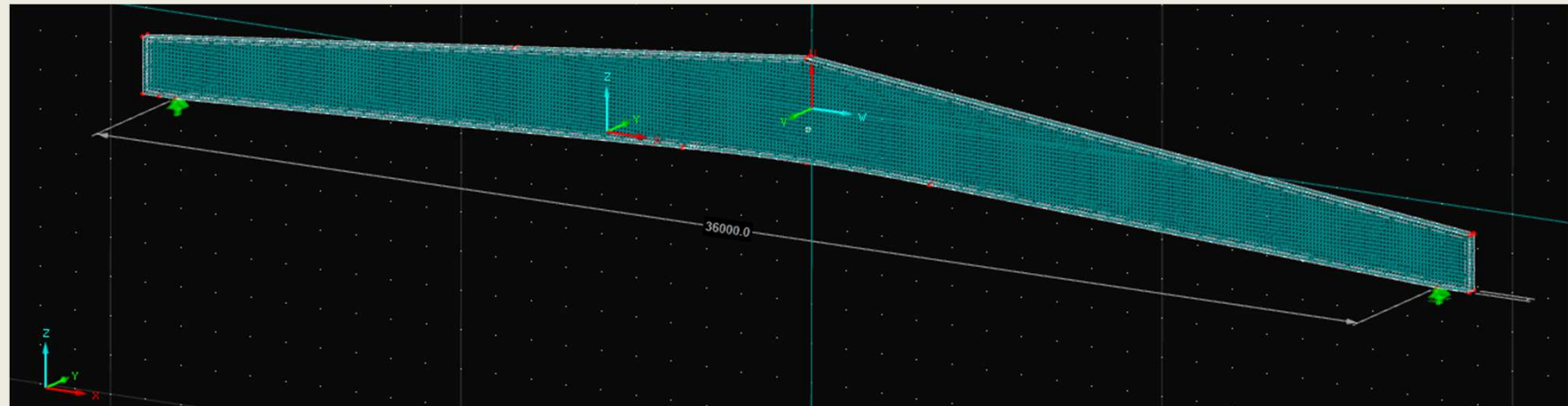
Vrsta	E_L	E_R	E_T	G_{LR}	G_{LT}	G_{RT}	ν_{LR}	ν_{RL}	ν_{LT}	ν_{TL}	ν_{RT}	ν_{TR}
Smreka	10700	710	430	500	620	23	0.38	0.03	0.51	0.03	0.51	0.31

Numerički model drvenog nosača

- Analiza se temelji isključivo na okomitim naprezanjima u sljemenom volumenu te isključujemo mogućnost sloma materijala
- Numerički model je u potpunosti homogen. Lamele, doprinos vlažnosti i prirodne mane drva su izostavljene
- Numerički model modeliran je s pretpostavkom ortotropnog materijala
- Analiza se temelji na naprezanjima poprečno na vlakanca i utjecaj ojačanja na potencijalne promjene naponskog stanja



- Izrazito zahtjevna računalna analiza
- Nemoguće izraditi analizu s malim brojem MKE

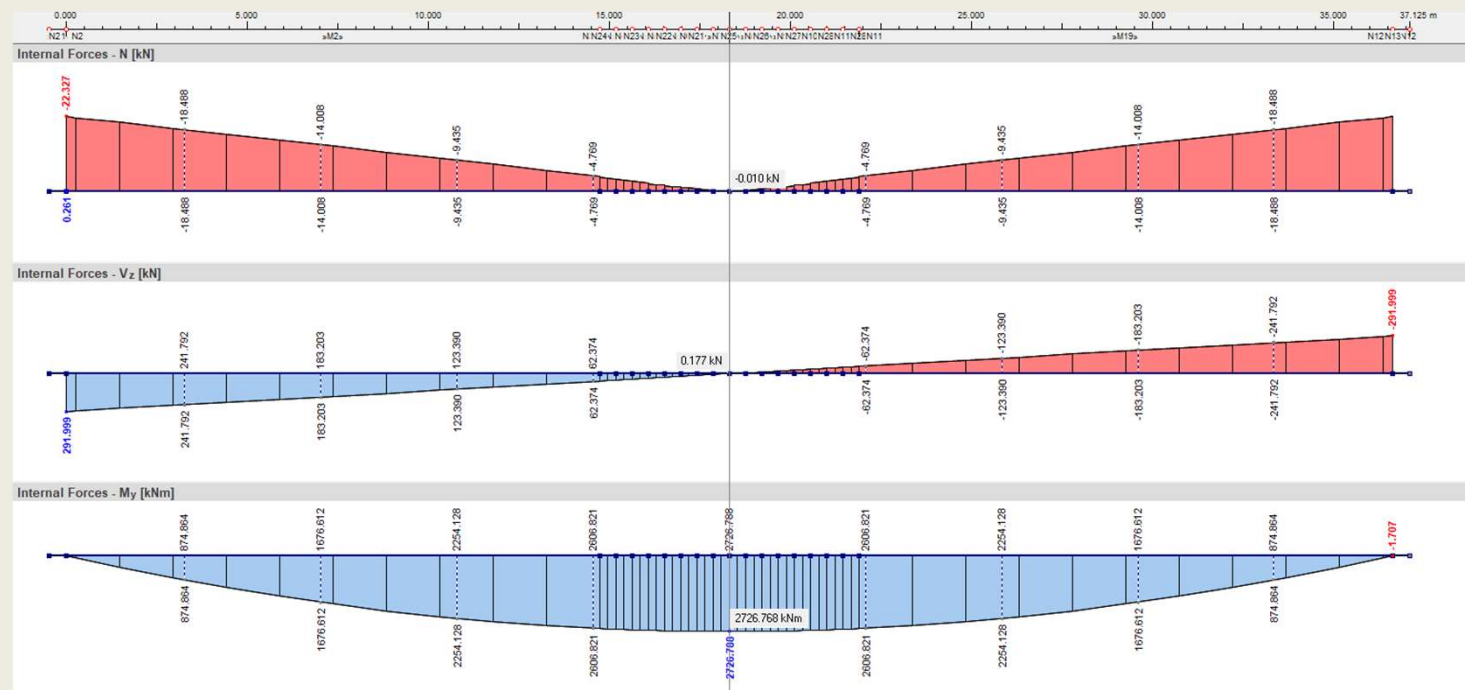


MKE nosača



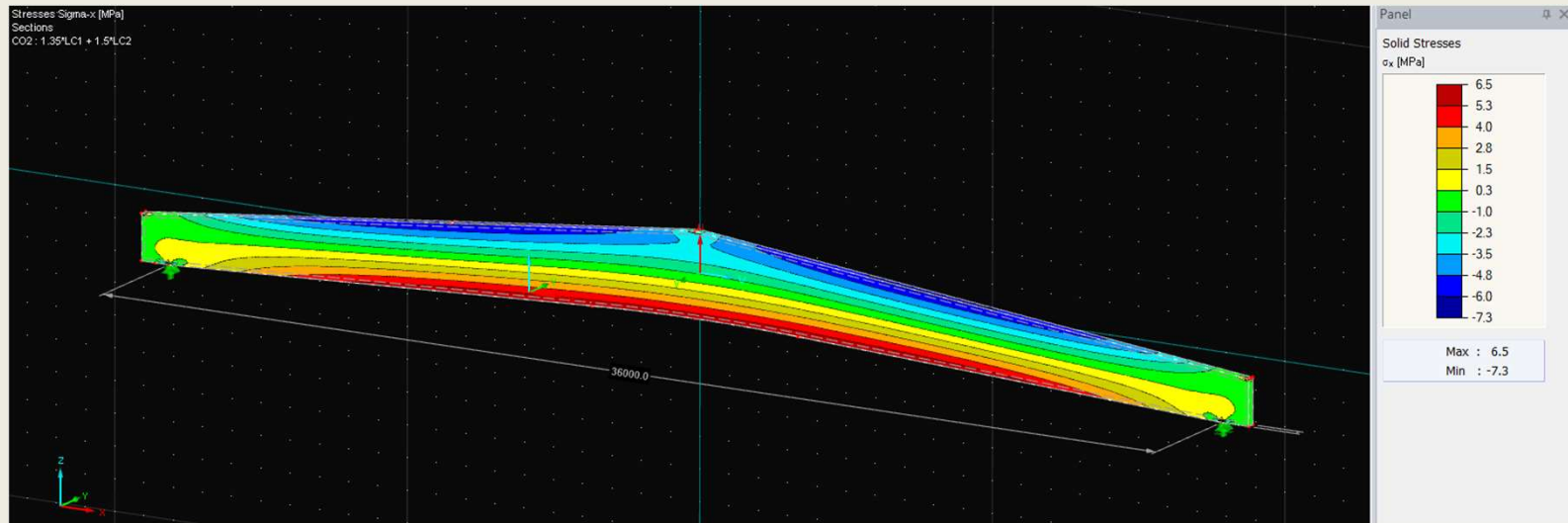
Numerički model drvenog nosača

- Unutarnje sile u nosaču –
 - $M_y,d = 2726.768 \text{ kNm}$ (savijanje u području sljemenog volumena)
 - $V_z,d = 291.99 \text{ kN}$ (na ležaju)
 - $N = 22.33 \text{ kN}$
- Vlačno naprezanje okomito na vlakanca –
 - $s,t,90,d = 0.23 \text{ MPa} > f_t,90,d \sim 0.15 \text{ MPa}$

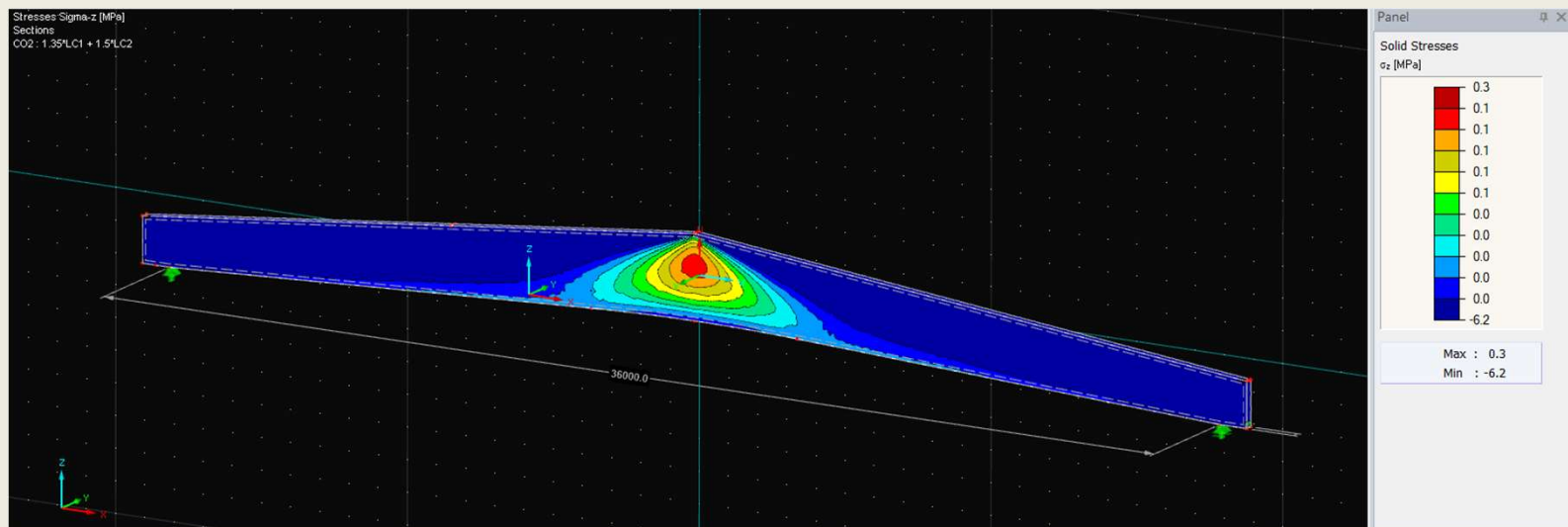


Numerički model drvenog nosača – neojačan nosač

Naprezanje uzdužno na vlakanca

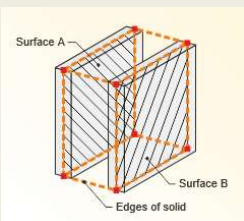
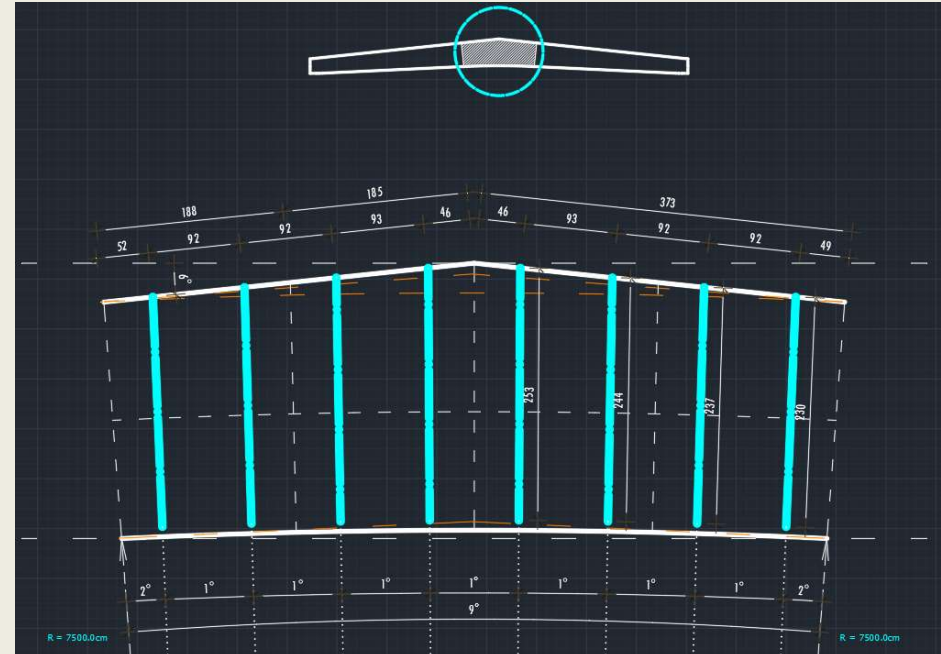
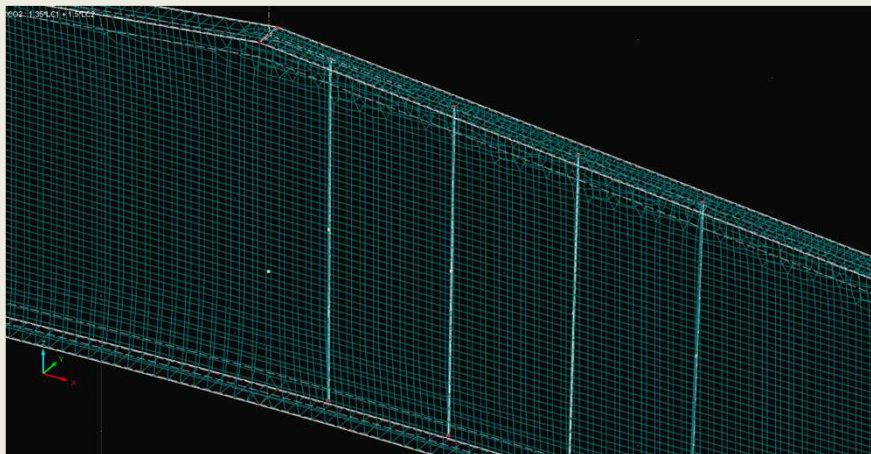


Naprezanje poprečno na vlakanca

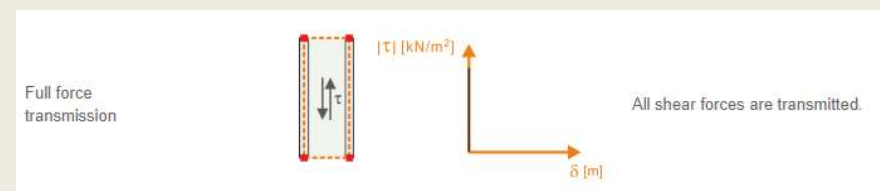


Numerički model drvenog nosača – ojačanje nosača s NŠ

- Modelirana ojačanja u nosaču i MKE

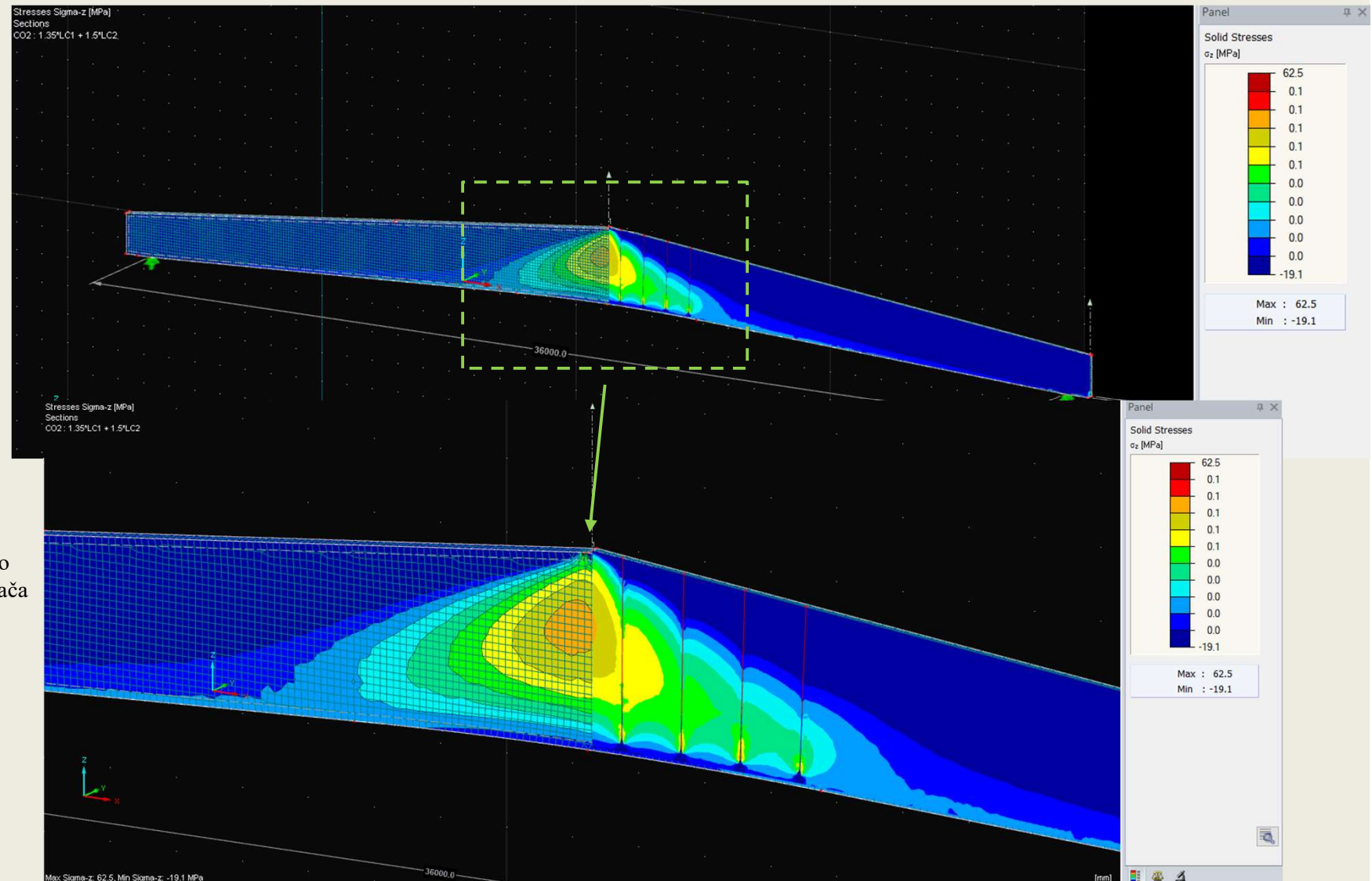


- Doprinos ljepila je izostavljen
- Izjednačeni stupnjevi slobode čvorova MKE s čvorovima NŠ
- Omogućen je 'Full-force transmission' između oboda plašta NŠ i izbušene rupe unutar nosača

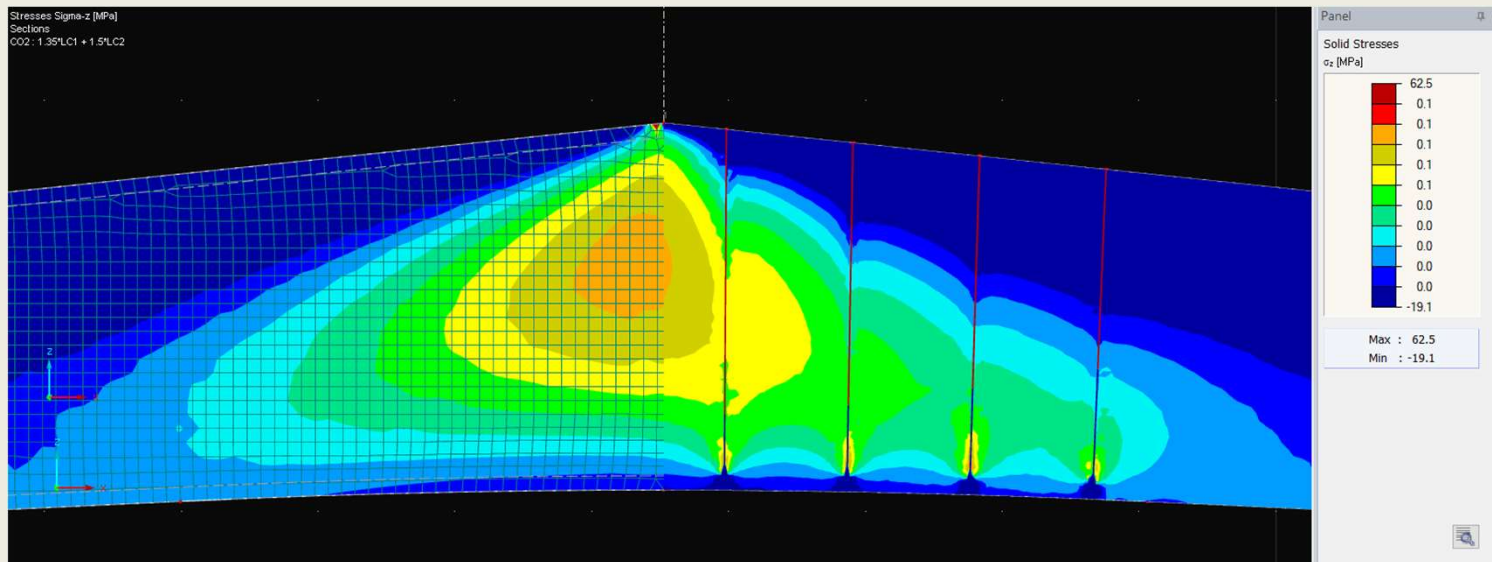


Numerički model drvenog nosača – ojačanje nosača s NS

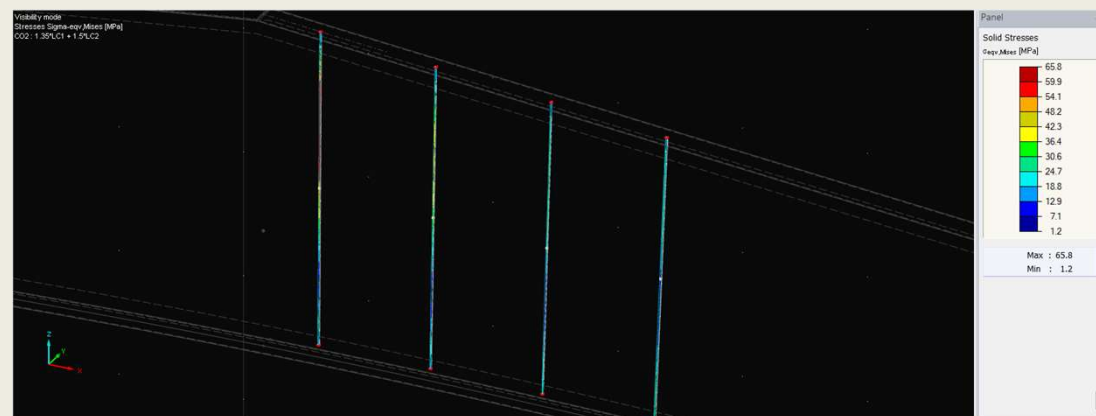
Naprezanje poprečno na vlakanca



Numerički model drvenog nosača – ojačanje nosača s NŠ

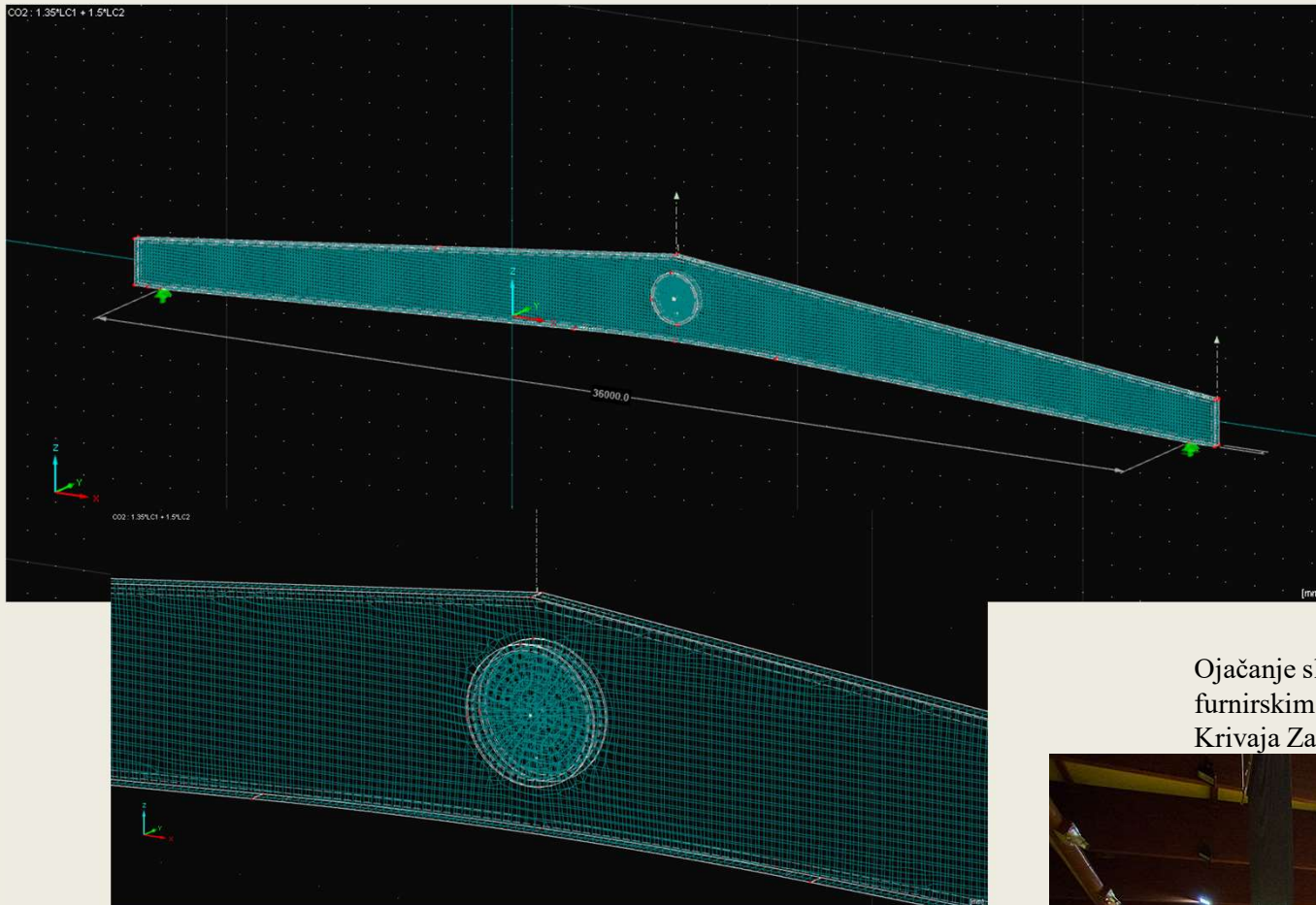


Prikaz uzdužnog presjeka nosača, ojačanja postavljena u sljemenom volumenu



S_x naprezanja NŠ – max 65.8 MPa

Numerički model drvenog nosača – ojačanje nosača s furnirskim pločama (Baubuche LVL t=3cm)



MKE nosača ojačan s furnirskim pločama

Furnirske ploče lijepe se za nosač s rezorcinskim ljepilom, a pritisak za ljepljenje izvodi se čavlanjem. Prethodno, lice nosača potrebno je očistiti, poblanjati i otprišiti. Utrošak ljepila je otprilike 500 do 600 g/m², dok je utrošak čavala 1/60cm² ljepljene površine.

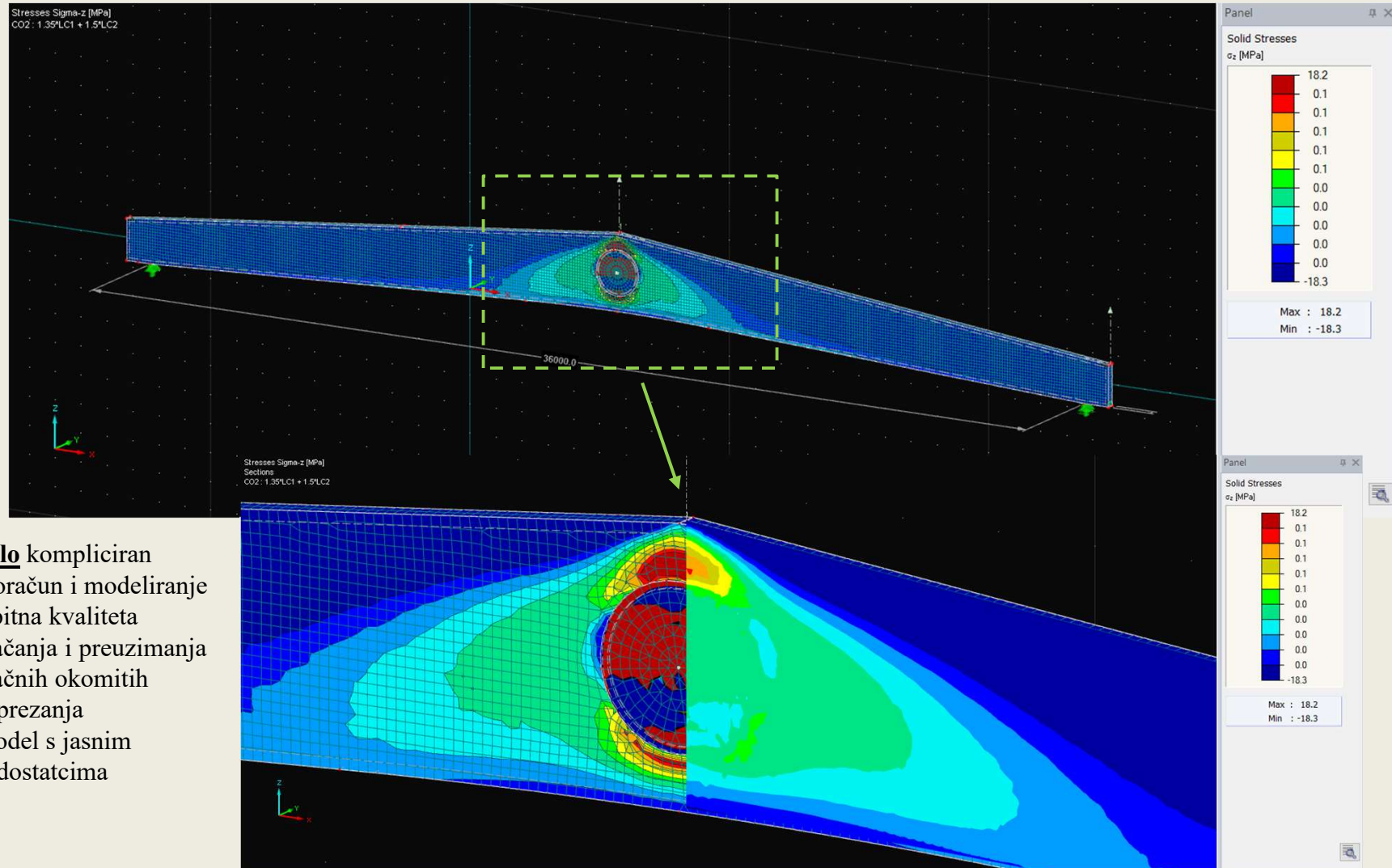


Ojačanje sljemenog volumena nosača furnirskim pločama u Virovitici, izvođač Krivaja Zavidovići d.o.o., cca 2004 godina



Numerički model drvenog nosača – ojačanje nosača s furnirskim pločama

Naprezanje poprečno na vlakanca



- **Vrlo** komplikiran proračun i modeliranje
- Upitna kvaliteta ojačanja i preuzimanja vlačnih okomitih naprezanja
- Model s jasnim nedostatcima



Numerički model drvenog nosača – analiza

- Obzirom na prirodne karakteristike drva potrebni su relativno kompleksni modeli kojima bih bilo moguće opisati njegovo pravo ponašanje. Prirodno ponašanje uključuje, ne samo modeliranje linearnog ili ne-linearnog materijalnog modela, već karakteristike prirodnih mana drva - čvorova, vlažnost, neujednačeno pružanja vlakanaca. – vrlo bitno
- U proračunskim situacijama u kojima su nosači zakrivljene geometrije većih raspona nezaobilazno je nosač opisati u jednom od računalnih programa te metodom konačnih elemenata dokazati naponsko stanje nakon postupka ojačanja.
- Možemo zaključiti da navojne šipke omogućavaju zadovoljavajuć stupanj redukcije okomitih vlačnih naprezanja, iako je sam postupak dokazivanja rezidualnih naprezanja vrlo složen i dugotrajan, ali nezaobilizan u dokazivanju globalne otpornosti nosača.
- Drvo ima izrazito drugačije karakteristike u smjeru paralelno i okomito na vlakanca. Poprečno na vlakanca drvo je slabo, u smislu vlačne čvrstoće i u odnosu na otvaranje pukotina. (Lom na prekoračenje vlačne otpornosti smatramo trenutnim otvaranjem pukotina – ‘krti lom’) Vlačna otpornost samo je nekoliko postotaka one paralelno na vlakanca, te postoji značajna razlika u ponašanju loma elementa. Stoga je, u modeliranju konstrukcija, potrebno izbjegći vlačna naprezanja okomito na vlakanca i posmik. Unatoč jasnim opasnostima, nekada nije moguće izbjegći vlačna naprezanja okomito na vlakanca i jasno je da su havarije nastale upravo iz razloga što nije potpuna pozornost pridodata ovom fenomenu.
- Mogući razlog u nesigurnosti projektiranja jest manjak znanja ili nedostatak razumijevanja o potencijalnim opasnostima. Također, vrlo je mali broj relevantnih ispitivanja i sama metodologija eksperimentalnih testiranja je vrlo neprecizna. Upitna je, međutim, i inženjerska praksa prepostavljanja podudarnosti vlakanca i smjera vlakanca samog elementa. Nerijetko, prepostavlja se da se ove orijentacije podudaraju bez ispitivanja što pridodaje nesigurnosti u projektiranju.



Fotografije ugradnje ojačanja – tvornica lijepljenih lameliranih nosača Drvene konstrukcije d.o.o., Voćin



Fotografije ugradnje ojačanja – tvornica lijepljenih lameliranih nosača Drvene konstrukcije d.o.o., Voćin



Hvala!

